

INFORMATIONS SR n° 5 . U DELPHINI en 1974 .ABSTRACT.

U Del was listed as an Lb before 1976, then as an SRb with a period of about 110 days. This study is about 908 estimates of brightness of U Del made by 45 observers between 1974 June 10 and September 30. After a determination of the personal sequence of comparison ( tables 2 and 3 ), the processing has been carried out in a way similar to that of v 449 Cyg by A. Figer. Only two iterations were necessary. The different stages of the processing and the results are given in tables 4, 5, 6, and figure 2. Finally, figure 3 shows the light curve of U Del after smoothing. One can note a periodicity of 160 to 180 days, which is more likely than the 110 day period, though the latter is still plausible. Studies bearing on many years of observations will be needed in order to be more conclusive.

1. INTRODUCTION.

U Del [= HD 197 812;  $\alpha = 20^{\text{h}} 43,2 \text{ mn}$ ;  $\delta = +17^{\circ} 54'$  (1950,0)] est une variable lente de type spectral M 5 II-III qui évolue entre mpg 7,6 et 8,9 ; elle était cataloguée en 1969 comme Lb (1). En 1976, B.V.Kukarkin l'a classée SRb (2), à la suite d'une note de J.E.Isles confirmant une périodicité d'environ 110 jours (3). Son éclat moyen varie avec une période de l'ordre de 1100 jours (4).

2. OBSERVATIONS.2.1. Les mesures.

Ont été réunies 1422 estimations d'éclat, effectuées par 54 observateurs français, italiens, et belges. Elles couvrent une période de huit mois, de Mai à Décembre 1974, mais sont assez mal réparties dans le temps. La fin de l'année surtout (Octobre à Décembre) a été suivie irrégulièrement, et le calcul des magnitudes moyennes montre une dispersion importante autour d'une droite : l'étoile est restée pratiquement constante pendant ces trois mois. C'est pourquoi on a choisi de ne faire porter la présente étude que sur la période du 10 Juin au 30 Septembre, où les mesures sont nombreuses, de bonne qualité, et où l'étoile a très sensiblement varié. Ainsi 908 mesures de 45 observateurs ont effectivement été prises en compte.

2.2. Les étoiles de comparaison.

Deux séquences de comparaison ont été employées. D'une part 26 observateurs, totalisant 606 estimations d'éclat, se sont servi des cinq repères F,G,H,K,L, proches par leur couleur de U Del. D'autre part 19 observateurs, qui ont réalisé 302 mesures, ont pris l'essentiel de la séquence qui avait servi en 1967 pour la nova HR Del.

La figure 1 montre le champ de U Del (et EU Del) avec les repères utilisés. Le tableau 1 indique les principales caractéristiques des étoiles de comparaison ; les magnitudes V et B et les spectres sont tirés des catalogues de Blanco (5) et de Rufener (6).

observateur	T	G	H	K	L	degré
MAU	5.87	6.22	6.76	7.19	7.46	0.082
ROL	5.91	6.30	6.69	7.06	7.54	0.023
JGR	5.84	6.27	6.73	7.19	7.46	0.092
DMC	5.86	6.25	6.73	7.17	7.49	0.109
RAL	5.93	6.21	6.65	7.16	7.55	0.106
RHS	5.86	6.30	6.64	—	—	0.047
RDR	5.87	6.26	6.72	7.13	7.52	0.103
VIA	5.92	6.24	6.66	7.12	7.56	0.057
RCX	—	6.23	6.70	7.12	7.55	0.085
MIM	5.85	6.28	6.72	7.16	—	0.107
LSP	5.86	6.27	6.71	7.14	7.52	0.075
TRP	5.83	6.30	6.71	7.16	—	0.036
RSN	5.87	6.27	6.66	—	—	0.101
COL	5.90	6.19	6.71	7.19	—	0.143
CSA	—	6.22	6.71	7.12	7.55	0.118
PAU	5.86	6.29	6.65	—	—	0.089
MRN	5.88	6.22	6.72	7.18	—	0.063
LDC	5.84	6.30	6.70	7.17	—	0.067
CAR	5.84	6.28	6.74	7.14	—	0.083
BIG	5.85	6.31	6.63	—	—	0.072
MNG	5.82	6.31	6.73	7.14	—	0.165
sequence moyenne:	5.87	6.26	6.70	7.15	7.52	

← Tab. 2 -  
Séquences  
personnelles.

↓  
Tab. 3

Répère	N°	Numéro HD	Coordonnées 1950	Mag v	Sp.	Mag V	Mag B
F	200	044	20 h 58.2 mn + 19° 03'	5.9	MA	5.8	7.3
G	197	219	20 h 59.7 mn + 17° 20'	6.2	KO	6.2	7.3
H	196	345	20 h 34.0 mn + 16° 38'	6.7	K2	6.6	8.1
K	197	940	20 h 44.1 mn + 16° 45'	7.2	K2	7.0	8.5
L	198	109	20 h 45.3 mn + 16° 03'	7.5	R3	7.5	8.1
29 Vul	196	724	20 h 56.3 mn + 21° 01'	4.8	A0	4.8	4.8
33 Vul	199	697	20 h 56.0 mn + 22° 08'	5.4	K5	5.4	5.9
a	195	821	20 h 37.0 mn + 21° 38'	5.9	A0	5.9	5.9
b	196	025	20 h 31.9 mn + 20° 49'	6.2	B3	6.3	6.3
c	197	076	20 h 38.5 mn + 19° 45'	6.3	G5	6.4	7.0
m	197	103	20 h 38.6 mn + 17° 24'	6.7	A0	6.6	6.8
f	197	228	20 h 39.6 mn + 20° 32'	7.3	A3	7.3	7.7
e	197	275	20 h 39.9 mn + 19° 27'	7.6	A0	7.6	7.8
	197	473	20 h 41.2 mn + 19° 42'	7.6	G5	7.7	8.1

Tab. 1 - Caractéristiques des étoiles de comparaison.

### 3. TRAITEMENT.

#### 3.1. Séquences personnelles.

Pour tous les observateurs ayant utilisé plusieurs repères consécutifs parmi F, G, H, K, L, on a pu déterminer des séries personnelles. Celles-ci ont été calculées par la méthode des moindres carrés, à partir de la séquence v du tableau 1. Les résultats sont reportés dans le tableau 2. De même, chaque fois que possible, on a calculé des séquences personnelles pour les observateurs qui ont employé les étoiles de comparaison de HR Del : résultats dans le tableau 3. Enfin, en cas d'impossibilité, on a utilisé pour les observateurs qui restaient l'une des deux séquences visuelles moyennes (en bas des tableaux 2 et 3).

obs.	29	35	a	b	c	m	g	e	f	degré
PZR	—	—	5.80	—	6.30	—	6.79	7.33	7.52	0.009
BNC	—	—	5.81	—	6.24	—	6.73	7.24	—	0.079
PAC	—	—	5.84	6.23	6.24	—	6.73	7.26	—	0.038
GIN	—	—	5.83	—	6.30	—	6.80	7.13	—	0.077
LGN	—	—	5.86	—	6.30	—	6.65	7.27	—	0.055
FUL	4.85	—	5.74	6.26	6.22	—	6.74	7.27	—	0.103
ATN	—	—	5.79	6.23	6.24	—	6.83	—	7.51	7.57
MPN	—	—	5.60	5.91	6.20	6.30	6.72	7.27	7.59	7.64
ECH	—	—	5.88	6.16	6.26	6.35	6.67	—	—	0.065
NAZ	—	—	—	—	6.17	6.30	6.72	7.38	—	0.135
LUT	—	—	5.93	6.13	6.21	6.33	6.72	7.24	—	0.072
moy.	4.85	5.60	5.84	6.20	6.24	6.34	6.74	7.26	7.54	7.59

3.2. Calcul itératif.  
Il a été mené de manière strictement identique à celui de V419 Cyg, par A. Figer (7). Deux itérations ont suffi. Les résultats sont résumés dans les tableaux 4, 5, et 6.  
Le tableau 4 donne, pour chaque tranche de 3 jours, la magnitude moyenne et le nombre de mesures entrant dans la moyenne ; puis, pour les itérations 1 et 2, la magnitude pondérée et la somme des coefficients ("poids") qui ont déterminé cette pondération.

date (1974)	moyennes brutes		1ère itération		2ème itération	
	magn.	nombre	magn.	nombre	magn.	nombre
10 - 12 JUN	7.167	15	7.187	146	7.189	155
13 - 15	7.245	13	7.187	122	7.185	128
16 - 18	7.130	9	7.188	83	7.183	89
19 - 21	7.169	26	7.175	218	7.177	226
22 - 24	7.056	14	7.119	98	7.119	97
25 - 27	7.049	9	7.153	80	7.157	84
28 - 30	7.228	14	7.158	137	7.150	149
I - 3 JUL	7.061	24	7.093	191	7.076	204
4 - 6	7.082	10	7.096	78	7.075	78
7 - 9	6.924	45	6.951	333	6.954	351
10 - 12	6.967	28	6.944	243	6.925	191
13 - 15	6.929	20	6.923	176	6.925	269
16 - 18	6.833	19	6.882	171	6.883	194
19 - 21	6.809	17	6.856	133	6.842	142
22 - 24	6.839	25	6.834	194	6.817	202
25 - 27	6.855	44	6.832	453	6.831	520
28 - 30	6.786	39	6.828	356	6.829	400
31 - 2 AUG	6.879	8	6.861	49	6.856	51
3 - 5	6.820	21	6.796	170	6.797	184
6 - 8	6.835	22	6.834	128	6.832	125
9 - 11	6.796	38	6.817	267	6.818	281
12 - 14	6.814	47	6.846	356	6.854	363
15 - 17	6.807	48	6.847	379	6.858	401
18 - 20	6.861	47	6.903	368	6.916	384
21 - 23	6.867	28	6.903	209	6.901	221
24 - 26	6.935	46	6.943	398	6.946	434
27 - 29	6.961	38	6.968	354	6.971	373
30 - 1 SEP	7.110	2	7.030	22	7.030	27
2 - 4	7.095	11	7.017	66	7.017	70
5 - 7	7.040	28	6.967	204	6.960	224
8 - 10	6.937	34	6.981	284	6.970	315
II - 13	7.031	40	7.014	258	7.003	279
14 - 16	7.068	18	7.007	185	6.993	212
17 - 19	6.931	18	7.006	136	7.003	155
20 - 22	6.887	25	7.001	163	6.993	179
23 - 25	7.133	3	6.941	32	6.941	30
26 - 28	7.073	18	7.072	94	7.022	87
29 - 30	6.870	1	6.970	3	6.970	2

Dans le tableau 5 on a indiqué successivement, pour tous les observateurs :

- l'instrument employé
- le nombre total de mesures
- le nombre des mesures utilisées
- le décalage systématique  $\Delta m$  } par rapport à la série des magnitudes de référence, données par le tableau 6.
- l'écart-type  $\sigma$
- le coefficient de pondération : partie entière de  $1/10\sigma^2$ .

#### Remarques :

Les de la première étape du calcul, ont été éliminées les mesures situées à plus de  $3\sigma$  de la magnitude de référence. Ce sont des observations de : FGR ("?" à  $3,2\sigma$  et  $4,0\sigma$ ); RAL (à  $3,6\sigma$ ); NIM (à  $3,1\sigma$ ); DCH (à  $3,1\sigma$ )

DIC (à  $4,2\sigma$ ); RCX (à  $3,5\sigma$ ); KFN (à  $3,1\sigma$ ).

Pour la deuxième étape, on n'a pas pris en compte, bien sûr, les séries de moins de 3 mesures ; ainsi que celle, médiocre, de MNG, et les 4 observations de CMP (écart-type peu significatif).

Sur la figure 2 sont représentées les courbes de lumière obtenues à partir

des moyennes brutes, et après la première itération.

#### 4. RÉSULTATS.

Pour plus de clarté, on a représenté séparément, sur la figure 3, la courbe finale, résultante de la deuxième itération. On y a ajouté la courbe — moins fiable — d'Octobre et Novembre (en pointillé).

La durée sur laquelle porte l'étude proprement dite, du 10 Juin au 30 Septembre, est de 110 jours; l'allure de la variation ne confirme donc pas la période supposée de 110 jours, qui semble trop courte. Un cycle de l'ordre de 160 à 180 jours paraît plus probable, si l'on tient compte des rares mesures de la fin Décembre, qui semblent montrer une rapide augmentation d'éclat. Toutefois la période de 110 jours reste plausible, puisque de tels écarts d'un cycle à l'autre sont fréquents chez les semi-régulières. Des études portant sur plusieurs années d'observation permettront d'être plus affirmatif.

P. Ralincourt

Tab. 4 — Moyennes pondérées par tranches de 3 jours.

#### REFERENCES.

- (1) B.V.KUKARKIN and al., 1969, General Catalogue of Variables Stars (3rd ed.).
- (2) B.V.KUKARKIN and al., 1976, G.C.V.S., 3rd suppl. to 3rd edition.
- (3) J.E.ISLES, 1973, Journal B.A.A., 84, 39.
- (4) S.RUCINSKI, 1962, Urania 33 n°4, 116.
- (5) BLANCO and al., 1970, U.S.Naval Obs. 21.
- (6) F.RUFENER, 1976, A. and A. Suppl. 26, 275.
- (7) A.FIGER, 1975, Sigma 1, 35.

JUN	itération 0	JUL	itération 0	itération 1	AUG	itération 0	itération 1	SEP	itération 0	itération 1
		I	7.12	7.09	I	6.81	6.80	I	7.00	6.98
		2	7.10	7.07	2	6.81	6.80	2	7.00	6.98
		3	7.08	7.06	3	6.81	6.80	3	7.01	6.98
		4	7.05	7.04	4	6.91	6.80	4	7.01	6.99
		5	7.01	7.03	5	6.81	6.81	5	7.02	6.99
		6	6.98	7.01	6	6.81	6.81	6	7.02	6.99
		7	6.96	7.00	7	6.82	6.81	7	7.02	6.99
		8	6.95	6.98	8	6.82	6.82	8	7.02	6.99
		9	6.94	6.97	9	6.82	6.82	9	7.02	7.00
		10	6.93	6.95	10	6.82	6.82	10	7.02	7.00
		11	6.95	6.94	11	6.83	6.83	11	7.02	7.00
		12	6.92	6.93	12	6.83	6.83	12	7.03	7.00
		13	6.92	6.92	13	6.83	6.84	13	7.03	7.00
		14	6.92	6.91	14	6.83	6.84	14	7.03	7.01
		15	6.91	6.90	15	6.83	6.85	15	7.03	7.01
		16	6.89	6.89	16	6.84	6.86	16	7.03	7.01
		17	6.87	6.88	17	6.84	6.87	17	7.03	7.01
		18	6.86	6.87	18	6.85	6.88	18	7.03	7.01
		19	6.85	6.86	19	6.86	6.89	19	7.03	7.01
		20	6.85	6.85	20	6.87	6.90	20	7.03	7.01
		21	6.84	6.84	21	6.89	6.91	21	7.03	7.01
		22	6.84	6.84	22	6.90	6.92	22	7.03	7.02
		23	6.83	6.83	23	6.92	6.93	23	7.03	7.02
		24	6.83	6.83	24	6.91	6.94	24	7.03	7.02
		25	6.82	6.82	25	6.95	6.95	25	7.03	7.02
		26	6.82	6.82	26	6.96	6.96	26	7.03	7.02
		27	6.81	6.82	27	6.97	6.96	27	7.03	7.02
		28	6.81	6.81	28	6.97	6.97	28	7.03	7.02
		29	6.80	6.81	29	6.98	6.97	29	7.03	7.02
		30	6.80	6.81	30	6.99	6.97	30	7.03	7.02
		31	6.80	6.81	31	6.99	6.99	31	7.03	7.02

Tab. 6 - Magnitudes de référence.

observateur	série	instr.	nb.	première itération			deuxième itération		
				$\tau$	$\Delta\tau$	$\sigma$	$1/\theta\sigma^2$	$\hbar$	$\Delta\hbar$
N. MAIRON	MAU	J 30	55	55	-0.097	0.195	3	55	-0.095
C. PEZZAROSSA	EZR	J 50	55	55	+0.299	0.103	9	55	+0.301
R. ROLLARD	ROL	J 30	55	-0.141	0.089	13	55	-0.144	
A. FIGER	DSC	J 50	51	49	+0.011	0.079	16	49	+0.009
C. DC-EG	DCH	J 50	45	44	+0.051	0.120	7	44	+0.055
G. DEMARZI	DCH	J 50	44	43	-0.115	0.149	5	43	-0.127
P. DALINCOURT	RAL	J 50	41	40	-0.092	0.082	15	40	+0.087
G. BILALLOCCI	BIC	J 50	38	38	-0.008	0.086	14	38	-0.005
J. HEMIS	RES	L 35	37	37	+0.038	0.096	11	37	+0.031
J. GAETANI	GEN	J 50	34	34	+0.104	0.261	1	34	+0.118
T. RENDIER	RDR	J 30	34	34	+0.098	0.125	6	34	+0.098
M. TULLE	FUL	L 70	29	29	-0.255	0.134	6	29	-0.266
C. PIEDENOIR	PIE	J 50	27	27	-0.153	0.102	10	27	-0.142
J. VIALLE	VIA	J 50	26	25	-0.015	0.137	5	25	-0.026
Fr. ZERRILLI	BER	J 40	23	23	+0.181	0.119	7	23	+0.182
M. PERNA	PER	J 50	23	22	+0.158	0.147	5	22	+0.159
C. PACAUDOUX	RCX	J 50	23	22	-0.065	0.123	7	22	-0.065
C. PAPALONI	PAP	J 50	21	21	-0.079	0.178	3	21	-0.073
B. LAMARE	LBR	J 26	19	19	-0.025	0.060	28	19	-0.026
M. MOREL	MIN	J 40	19	18	+0.129	0.177	3	18	+0.125
JL. LESTRADE	LSI	L 64	18	18	-0.151	0.278	1	18	-0.157
G. TRICISPOUX	TRP	J 50	18	18	-0.231	0.175	3	18	-0.235
D. FRETEAU	BAH	J 50	17	17	-0.151	0.190	3	17	-0.126
E. NAZ	NAZ	J 50	17	17	+0.135	0.239	2	17	+0.141
M. ROSTICH	RSN	J 50	17	17	-0.236	0.165	4	17	-0.236
C. ZANADREA	ZHN	J 50	13	13	-0.108	0.147	5	13	-0.110
D. LEPRION	LPL	J 50	12	12	-0.138	0.145	5	12	-0.129
G. CASNO	CSN	J 70	10	10	+0.245	0.158	4	10	+0.256
G. DEFRASTANI	DIS	J 30	10	10	-0.056	0.141	5	10	-0.051
C. PAUL	PAU	J 50	10	10	-0.110	0.167	4	10	-0.106
L. MARIN	MRI	J 50	9	9	-0.016	0.058	30	9	-0.012
P. EICCI	DIC	J 50	8	8	+0.036	0.138	5	8	+0.025
C. PAPILLON	CHP	J 50	7	7	-0.014	0.073	19	7	-0.024
C. LAUREFIC	LDC	J 50	6	6	-0.103	0.213	2	6	-0.108
C. CAREYALI	CAR	J 50	5	5	-0.066	0.09	12	5	-0.042
M. GALLERI	GLD	J 30	5	5	-0.36	0.06	28	5	-0.34
M. JEHAGIE	EIG	J 50	4	4	-0.02	0.23	2	4	-0.02
T. CAMPAGNOLA	CAP	J 50	4	4	+0.11	0.04	70	4	+0.16
G. DESTELLIER	LFL	Photo	4	4	+0.16	0.14	5	4	+0.15
GL. ADAMCLIU	ADM	J 30	3	3	+0.24	0.09	12	3	+0.27
L. MENASER	ENG	J 50	3	3	-0.16	0.31	1	3	-0.06
A. SCARSELLA	SCA	J 50	3	3	+0.04	0.13	6	3	+0.05
G. BLACCO	BLN	J 50	2	2	+0.14	0.11	8	2	+0.13
G. COLOMBO	CBO	J 50	2	2	-0.13	0.27	1	2	-0.26
C. ORLANDI	ORL	J 50	2	2	-0.01	0.05	II	8	-0.01

Tab. 5 - Récapitulation par observateur.

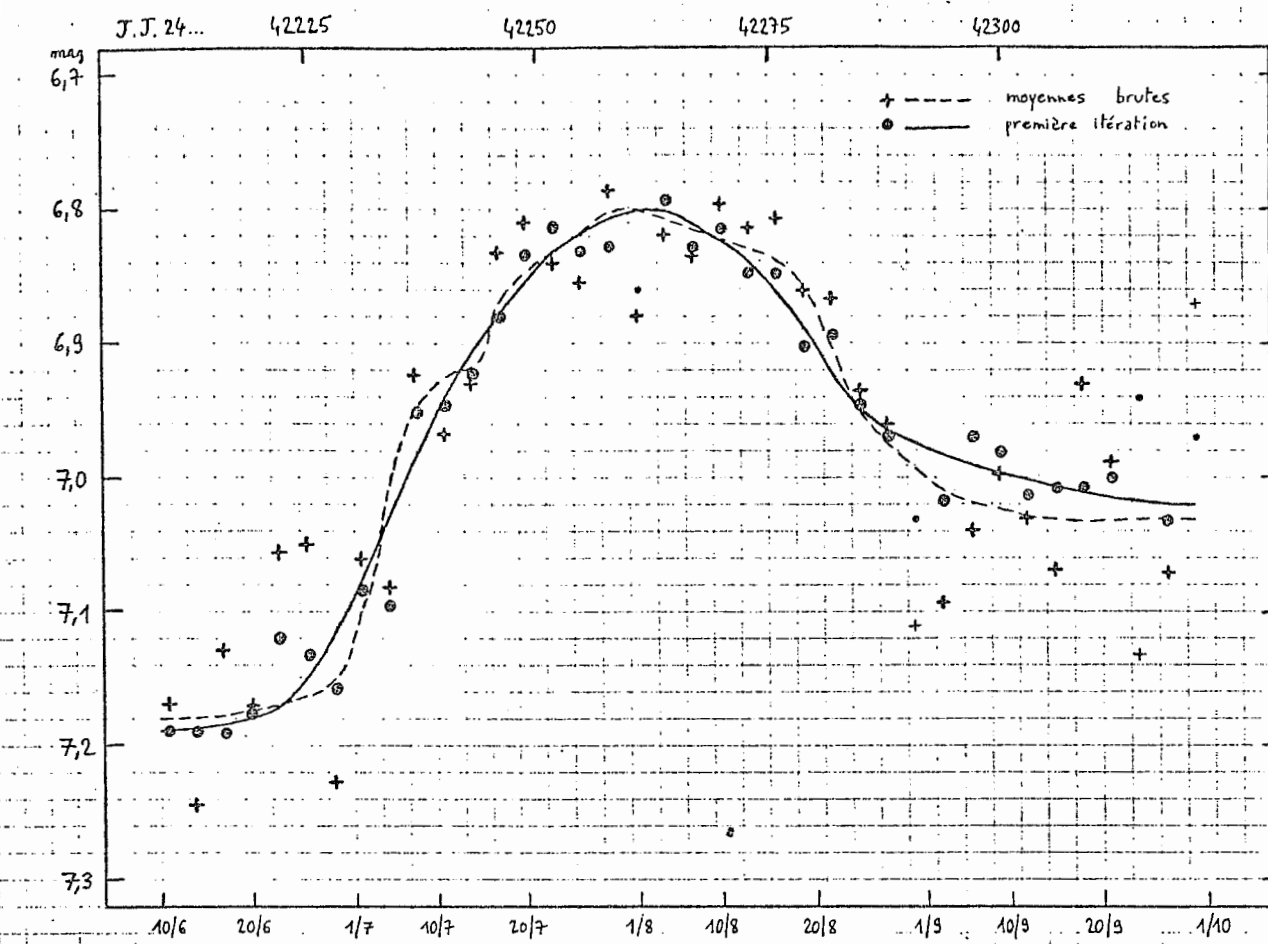


Fig. 2 - Courbes de lumière.

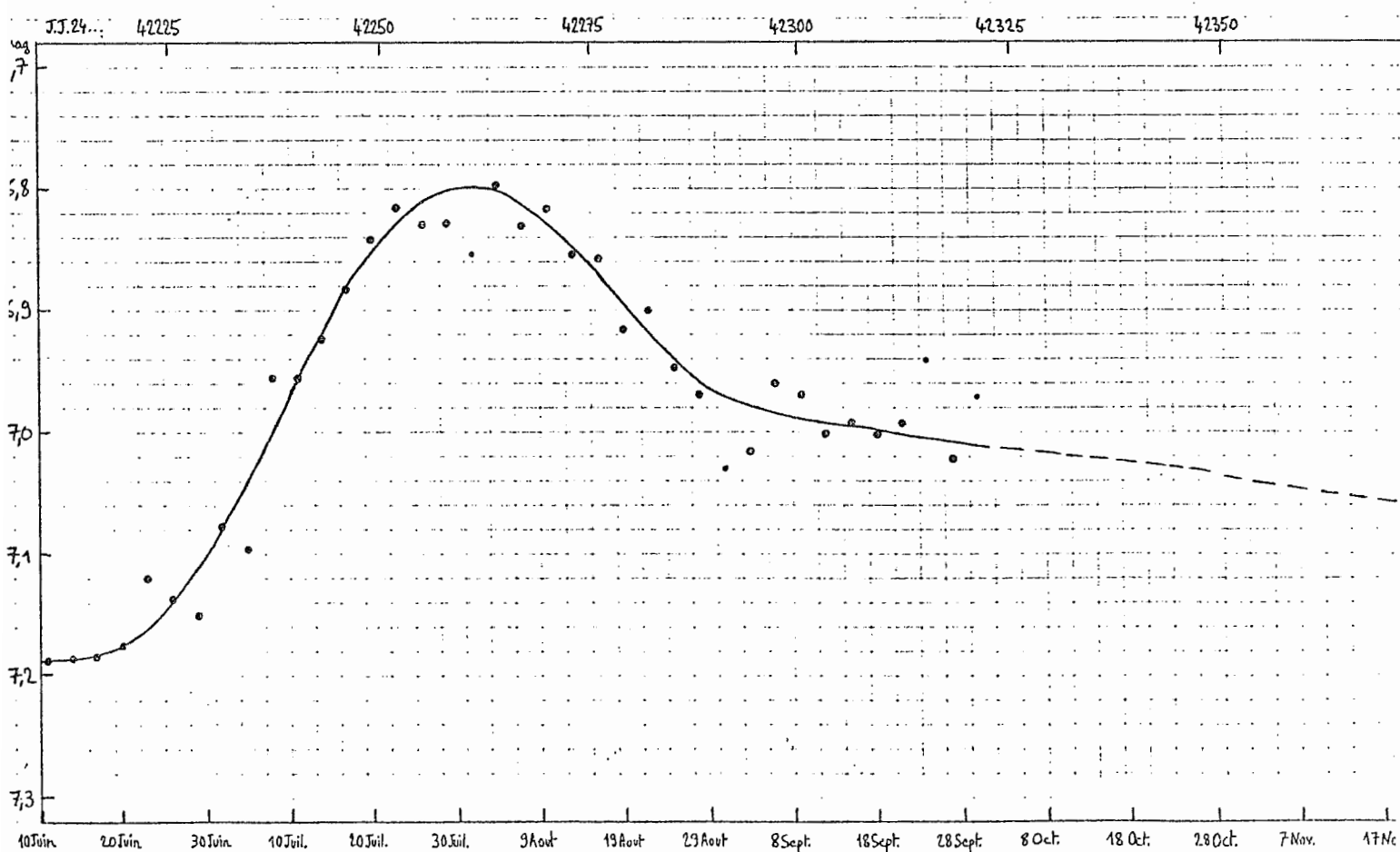


Fig. 3 - Courbe de lumière finale.